

数値計算と性能,精度に関するまとめ

1.はじめに

数値計算の性能,精度に関して以下の事をまとめました。

- (1) SR16000のsmpとmpiの効果を対称行列のノンゼロ要素のみを使用するCG法でその性能を検証しました。
- (2) ループ積分を用いて,アクセラレータ及びサーバーの性能を比較しました。
- (3) サーバーにおいてRump's例題でDD形式とIEEE形式の性能を比較しました。
- (4) サーバーにおいて3次元ループ積分でDD形式とIEEE形式の性能を比較しました。

尚,チューニングの方法や精度に関する注意事項は適宜記載しています。

2 SR16000でのsmpとmpiに関して

SR16000では、1coreに関して2組の乗加算器があり一般的にsimd命令が適用される場合はsmt=off,適用されない場合はsmt=onの性能がよくなります。1ノードでの実行では以下のようになります。

Simd命令が適用されない

```
setenv HF_BINDPROC_STRIDE 1  
./cg_omp -F'prunst (threadnum (64) ,BIND (0))'
```

Simd命令が適用される

```
setenv HF_BINDPROC_STRIDE 2  
./cg_omp -F'prunst (threadnum (32) ,BIND (1))'
```

またSR16000の構成では最大8ノードで、1ノード32coreのため、1ノード当たりのコア数がノード数より多いのでハイブリッド並列の効果に特徴があります。参考までにBG/Lは1ノード2core,BG/Qは1ノード16coreとノード数が1ノード当たりのコア数より多くなります。

1ノードでのmpi数とsmp数

Simd命令が適用されるのでmpi数*smp数=32

node = 1

total_tasks = 16

poe mpibind -thread 2 -hpc ./cg_mpi5

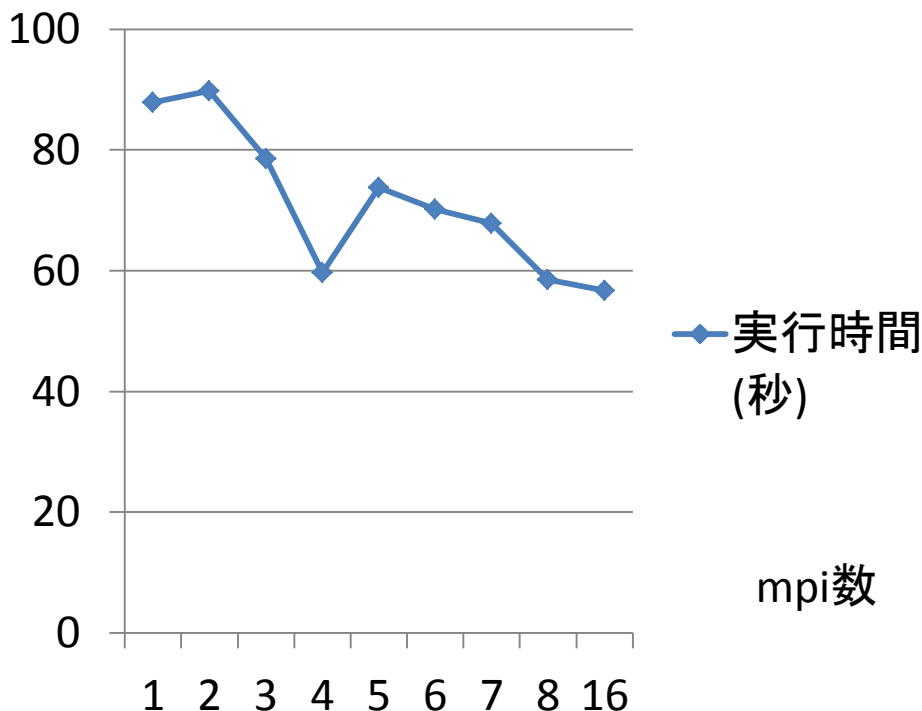
SR16000 cg法

N = 2016000

スレッド数 = int(32 / mpi数)

1mpi,1スレッド 1123.0154秒

実行時間(秒)



注 mpi数=1 smp並列

1,4,8ノードでの性能

SR16000 cg法

N = 10000000

1node,1mpi,1スレッド 11547.3647秒

case1 1node,2mpi,16smp

case2 1node,4mpi,8smp

case3 1node,8mpi,4smp

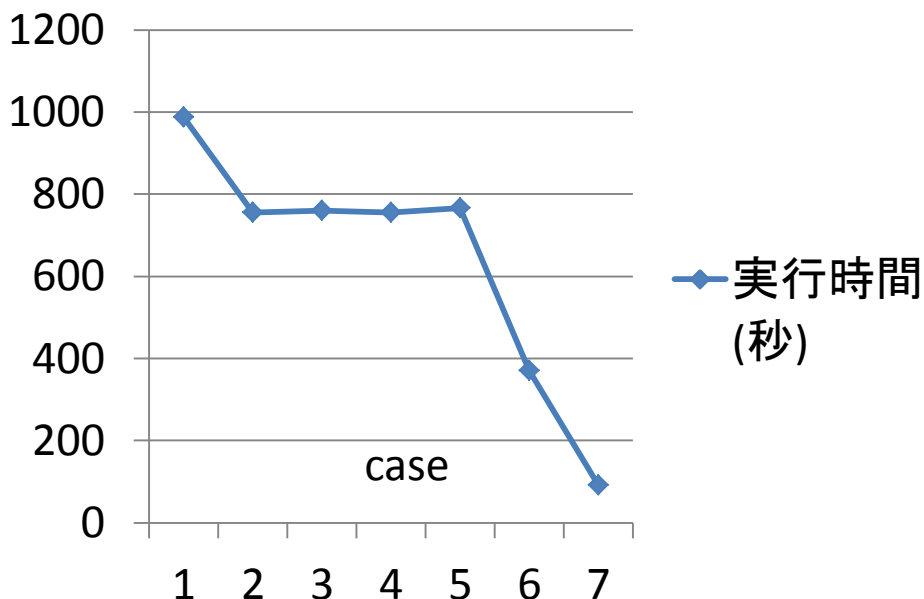
case4 1node,16mpi,2smp

case5 1node,32mpi,1smp

case6 4node,4mpi,32smp

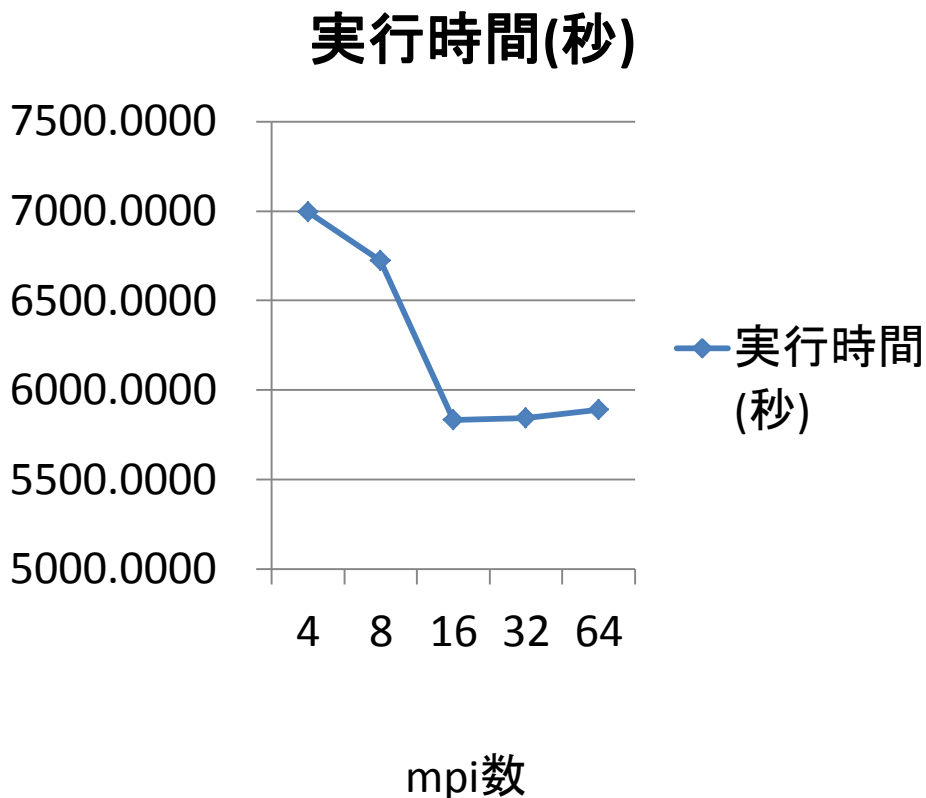
case7 8node,8mpi,32smp

実行時間(秒)



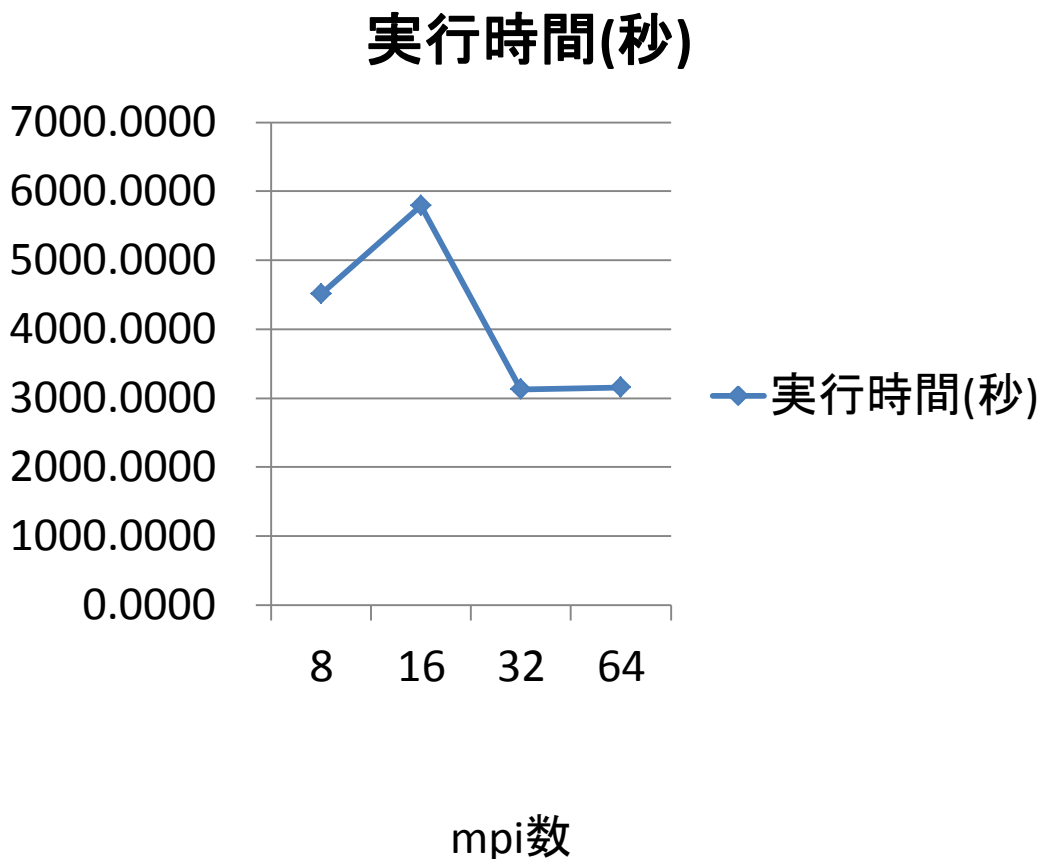
SR16000 4ノード
N=100000000
Mpi数*smp数=128

node =4
total_tasks =16
poe mpibind -thread 8 -hpc ./cg_mpi5



SR16000 8ノード
N=100000000
Mpi数*smp数=256

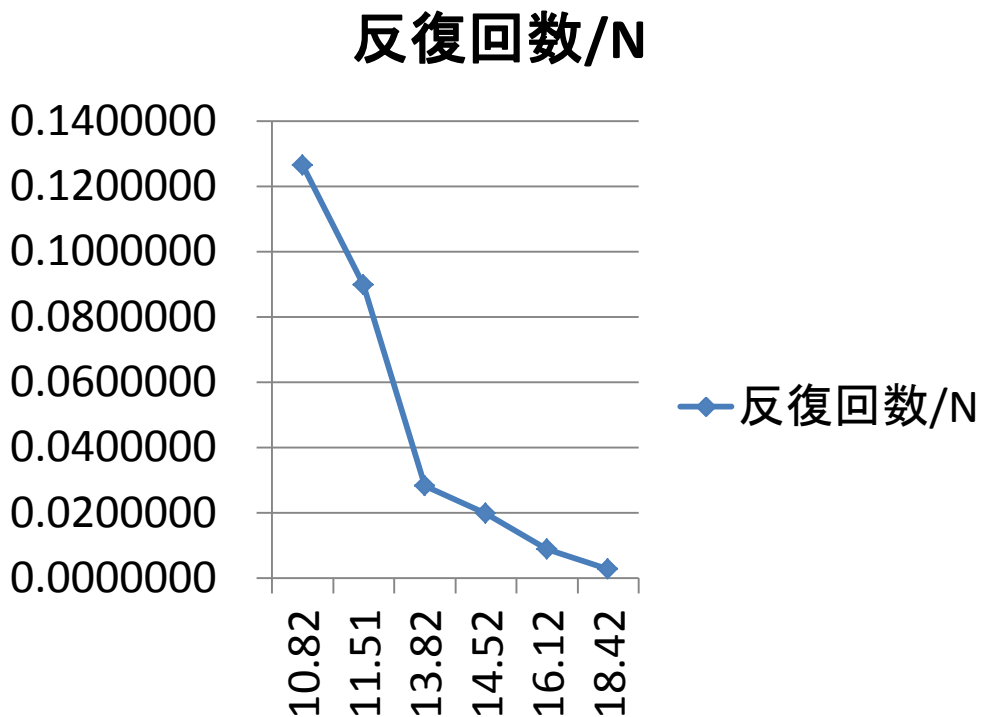
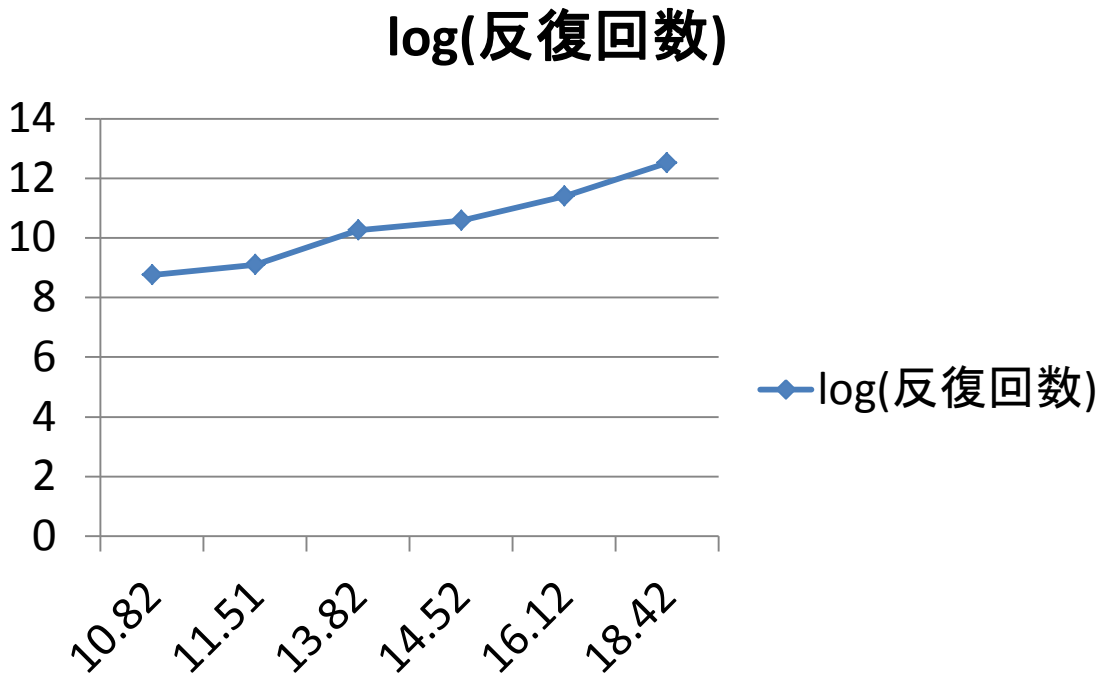
node =8
total_tasks =32
poe mpibind -thread 8 -hpc ./cg_mpi5



サイズNに対する反復回数

サイズNが大きくなると反復回数は増加する。

サイズNが大きくなると反復回数/Nは小さくなる。



高エネルギー加速器研究機構のSR16000の構成は1ノードあたり32coreとなっていますが、32coreでメモリを蜜結合で共有するのではなく、4つの8coreで蜜結合が疎結合でメモリを共有する形となっています。このため、1ノード32coreではなく、4ノード8coreと考えた方が良く1ノードでは32smp並列より、4mpi,8smpのハイブリッド並列の方が性能がでます。4ノード,8ノードの場合も同様に8core16ノード,32ノード考えて実行すると効果がでます。またsimd命令が適用できないプログラムではSmt=onとして,2smp/coreとして実行すると性能がでます。

3. ループ積分を用いて,アクセラレータ及びサーバーの性能比較

次の3つのループ積分を用いてアクセラレータ及びサーバーの性能比較をしています。

4次元積分 S221

$$S^{221}(s; m_1^2, m_2^2, m_3^2, m_4^2, m_5^2) = \int_0^1 \int_0^{1-x} \int_0^{1-x-y} \int_0^{1-x-y-z} \frac{1}{DC} du dz dy dx$$

$$C = (x + y + z + u)(1 - x - y - z - u) + (x + y)(z + u)$$

$$E = (1 - x - y - z - u)(x + z)(y + u) + (x + y)zu + (z + u)xy$$

$$M^2 = xm_1^2 + ym_2^2 + zm_3^2 + um_4^2 + (1 - x - y - z - u)m_5^2$$

$$D = -sE + M^2C$$

$$s^{221}(-1 : 100, 100, 0, 0, 100)$$

解析近似解 : 0.0380004438127

6次元積分 Laporta I

$$I = \int_0^1 \int_0^{1-x_1} \int_0^{1-x_1-x_2} \int_0^{1-x_1-x_2-x_3} \int_0^{1-x_1-x_2-x_3-x_4} \int_0^{1-x_1-x_2-x_3-x_4-x_5} \frac{C}{D^3} dx_6 dx_5 dx_4 dx_3 dx_2 dx_1$$

$$x_7 = 1 - x_1 - x_2 - x_3 - x_4 - x_5 - x_6$$

$$C = (x_1 + x_2 + x_3 + x_4 + x_5) * (x_1 + x_2 + x_3 + x_6 + x_7) - (x_1 + x_2 + x_3) ** 2$$

$$cc = x_1 * m_{12} + x_2 * m_{22} + x_3 * m_{32} + x_4 * m_{42} + x_5 * m_{52} + x_6 * m_{62} + x_7 * m_{72}$$

$$D = -c * cc$$

$$.+s * (x_1 * x_2 * (x_4 + x_5 + x_6 + x_7) + x_1 * x_5 * x_6 + x_2 * x_4 * x_7 - x_3 * x_4 * x_6)$$

$$.+t * x_3 * (-x_4 * x_6 + x_5 * x_7)$$

$$.+p_{12} * (x_1 * x_3 * (x_4 + x_5 + x_6 + x_7) + x_3 * x_4 * (x_6 + x_7))$$

$$.+p_{22} * (x_2 * x_3 * (x_4 + x_5 + x_6 + x_7) + x_3 * x_6 * (x_4 + x_5))$$

$$.+p_{32} * (x_4 * x_5 * (x_1 + x_2 + x_3 + x_6 + x_7) + x_4 * x_6 * (x_2 + x_3) + x_1 * x_5 * x_7)$$

$$.+p_{42} * (x_6 * x_7 * (x_1 + x_2 + x_3 + x_4 + x_5) + x_4 * x_6 * (x_1 + x_3) + x_2 * x_5 * x_7)$$

$$m_{12} = 1.0d0, m_{22} = 1.0d0, m_{32} = 1.0d0, m_{42} = 1.0d0$$

$$m_{52} = 1.0d0, m_{62} = 1.0d0, m_{72} = 1.0d0$$

$$p_{12} = 1.0d0, p_{22} = 1.0d0, p_{32} = 1.0d0, p_{42} = 1.0d0$$

$$s = 1.0d0$$

$$t = 1.0d0$$

解析近似解=0.0853513981538

8次元積分M44

$$I = \int_{\Omega} \frac{1}{C(D - i\epsilon C)} d\Omega$$

$$\Omega = \{(x_1, x_2, x_3, x_4, x_5, x_6, x_7, x_8, x_9) \mid$$

$$x_1 \geq 0, x_2 \geq 0, x_3 \geq 0, x_4 \geq 0,$$

$$x_5 \geq 0, x_6 \geq 0, x_7 \geq 0, x_8 \geq 0, x_9 \geq 0,$$

$$x_1 + x_2 + x_3 + x_4 + x_5 + x_6 + x_7 + x_8 + x_9 = 1\}$$

$$x_{i,j,k,\dots} = x_i + x_j + x_k + \dots$$

$$C = x_{167} x_{278} x_{349} x_{589} - x_{349} x_{589} x_7^2 - x_{167} x_{349} x_8^2$$

$$- x_{167} x_{278} x_9^2 + x_7^2 x_9^2$$

$$D = -x_{167} x_{278} x_3^2 x_{589} - x_{167} x_2^2 x_{349} x_{589} - x_1^2 x_{278} x_{349} x_{589}$$

$$+ x_{123} x_{167} x_{278} x_{349} x_{589} - 2x_1 x_2 x_{349} x_{589} x_7 + x_3^2 x_{589} x_7^2$$

$$- x_{123} x_{349} x_{589} x_7^2 + x_{167} x_3^2 x_8^2 + x_1^2 x_{349} x_8^2$$

$$- x_{123} x_{167} x_{349} x_8^2 - 2x_{167} x_2 x_3 x_8 x_9 - 2x_1 x_3 x_7 x_8 x_9$$

$$+ x_{167} x_2^2 x_9^2 + x_1^2 x_{278} x_9^2 - x_{123} x_{167} x_{278} x_9^2$$

$$+ 2x_1 x_2 x_7 x_9^2 + x_{123} x_7^2 x_9^2$$

解析解 $= \frac{441\zeta_7}{8} = 55.5852539156784$

8次元積分 M_{44} 実行結果一覽表

$N = 16$, 演算量 = 850.4GFLOP

実行時間(秒),性能(GFLOPs)一覽表				
CPU	smp数	実行時間	性能	備考
Pezy	8192	3.222556	264	HPC152
	8192	2.438170	349	H27末
	8192	1.298701	655	最終
Phi5110P	240	1.838314	463	—O2
E5-2670	16	6.325043	134	—O2
HD5870	3200	1.542792	551	標準
gmp	16	9.078043	94	—O1
	16	7.021060	121	—O2
g9mpx	16	10.650697	80	—O1
	16	8.946464	95	—O2
g9mpx3	40	4.800980	177	—O1
	40	3.311994	257	—O2
Pezy	1500GFLOPs		E5-2670	2.60GHz
Phi5110P	1011GFLOPs			
HD5870	1088GFLOPs		性能緒元一覽	
gmp	E5-2690(SB) 2.90GHz			
g9mpx	E5-2687W v2 3.40GHz			
g9mpx3	E5-2687W v3 3.10GHz			

アクセラレータによる性能比較

		ループ積分性能比較 実行時間(秒)一覧表			
プログラム	N	演算量 (GFLOP)	Pezy-SC	Phi5110P	HD5870
s221	512	3711	6.911009	14.119193	6.374162
s221	1024	59374	110.521333	194.452293	135.027731
laporta i	64	10308	16.988779	20.838768	14.426863
laporta i	128	659707	930.784595	1515.707021	904.091546
m44	16	850	1.298701	1.838314	1.542792
m44	32	217703	331.900691	298.712631	330.427198

発生した問題点

- 1.m44 HD5870 N=32 でゼロ割発生
2. m44 Pezy-SC 除算の性能が悪い。
(\leq 今後改善される模様)

対策

HD5870 N=16, Pezy-SC では除算が遅いが結果は正しい計算をしている事に着目
=>二分法の考え方を使用する。

HD5870のN=32での対策

M_{44} の計算を模式化すると $\int_{\Omega} \frac{1}{CD} d\Omega = \sum \frac{W}{CD}$ の計算をしている。二重指数関数型積分では $0 < CD \ll 1$ では $0 < W < CD \ll 1$ となっている。

$\varepsilon = CD$ として、 $\sum \frac{W}{\varepsilon}$ の計算で桁落ちなどによりゼロ割が発生する。このため、 ε_0 を定め、 $\varepsilon < \varepsilon_0$ なら $\varepsilon = \varepsilon_0$ として計算する。最終次元での式は

$$\int_0^1 \frac{(\log(x))^6}{1-x} dx = \sum x (\log(x))^6 \sqrt{\left(\log\left(\frac{1-x}{x}\right)\right)^2 + \pi^2}$$

となり、 $x = e^{-7}$, $W_M = \sum x (\log(x))^6 \sqrt{\left(\log\left(\frac{1-x}{x}\right)\right)^2 + \pi^2}$
 ≈ 823

$\varepsilon_0 = CD \approx x^2$ とすると、

$$\varepsilon_0 = 10^{-40}, x = 10^{-20}, W_{\varepsilon} = 4.40 \times 10^{-9}$$

$$\varepsilon_0 = 10^{-50}, x = 10^{-25}, W_{\varepsilon} = 2.10 \times 10^{-13}$$

より、 $\varepsilon_0 = 10^{-50}$ とすれば倍精度演算の範囲では最終結果に影響がなく、値は ε_0 の減少関数で、 $\varepsilon_0 \rightarrow 0$ で桁落ちで ∞ となるので二分法で ε_0 の値を定める事が出来る。

Pezy-SCの除算の高速化 (今後はこの修正が必要なくなる)

現時点ではPezy-SCでは単精度の $\frac{1}{\sqrt{x}}$ しか
高速に実行されない。($x > 2^{-149} \approx 1.4 \times 10^{-45}$)
このため $\varepsilon_0 = 10^{-40}$ とする。

$\varepsilon < 1.0 \times 10^{-40}$ に対し, $\frac{W}{\varepsilon} = \frac{Wh_0}{\varepsilon_0}$ となる共通の h_0

を求める。 $h_0 = 1$ なら $\frac{W}{\varepsilon} > \frac{W}{\varepsilon_0}$, $h_0 \gg 1$ とすれば

$\frac{W}{\varepsilon} < \frac{Wh_0}{\varepsilon_0}$ となるので2分法で, $\frac{W}{\varepsilon} = \frac{Wh_0}{\varepsilon_0}$

となる h_0 を求める。コーディングでは

```
h = 1.0e00;          f, g, h : double    ε : float
```

```
if (g >= ε0) {ε = g;}
```

```
else {ε = ε0; h = h0}
```

```
f = rsqrt(ε);
```

```
 $\frac{W}{\varepsilon} = W * f * f * h;$ 
```

f の精度不足分は h_0 に反映させて積分値全体の
精度低下を抑える。

M44 修正結果と結果の精度への影響
解析解=55.5852539156784

HD5870

N=16 55.5852539156735

N=32 55.5852539156776

N=32で修正した結果は以前と同じ精度

Pezy-SC

N=16 55.5852539156731

**単精度演算を使用しても必要な精度
を保っています。**

4. Rump's例題を用いたサーバーでの DD形式とIEEE形式の性能比較

rump's例題とは、四則演算からなる簡単な計算で、有効ビット数が121ビット以上を要求する計算のため、精度、性能の検証によく使用されるものです。

$$a = 77617.0, b = 33096.0$$

$$f = 333.75b^6 + a^2(11a^2b^2 - b^6 - 121b^4 - 2) + 5.5b^8 + \frac{a}{2b}$$

$$a^2 = 5.5b^2 + 1 = 6024398689$$

$$a^2(11a^2b^2 - b^6 - 121b^4 - 2) = -5.5b^2 - 333.75b^6 - 2$$

より、 $f = -2 + \frac{a}{2b} = -\frac{54767}{66192} = -0.827396059946$

DD形式

変数の値を複数個の倍精度変数の和で表す方式。

演算順序の変更がないように注意が必要。

サーバー系では`-fp-model precise`が必要

n 個の倍精度変数の和を $2n$ 倍精度という。

n が大きくなると、演算量は乗算が n の3乗、

加減算が n の2乗で増える。

また n が3以上となると除算で途中の結果で

絶対値が大きい順に並べる注意が必要と

なる。

IEEE形式

IEEE754-2008での4倍精度の仮数部を拡張する。

符号部1ビット、指数部15ビット、仮数部 $32 * p - 16$ ビット

を p 倍精度という。演算がコール形式となるため p が

小さい場合、オーバーヘッドが大きくなる。コーディング

では乗算、除算は比較的容易で、加減算での桁落ち

数の計算で誤りが生じ易い。

サーバー系では80ビットの内部レジスタを有するものが多く

拡張倍精度や、複数個の拡張倍精度の和の演算が有効

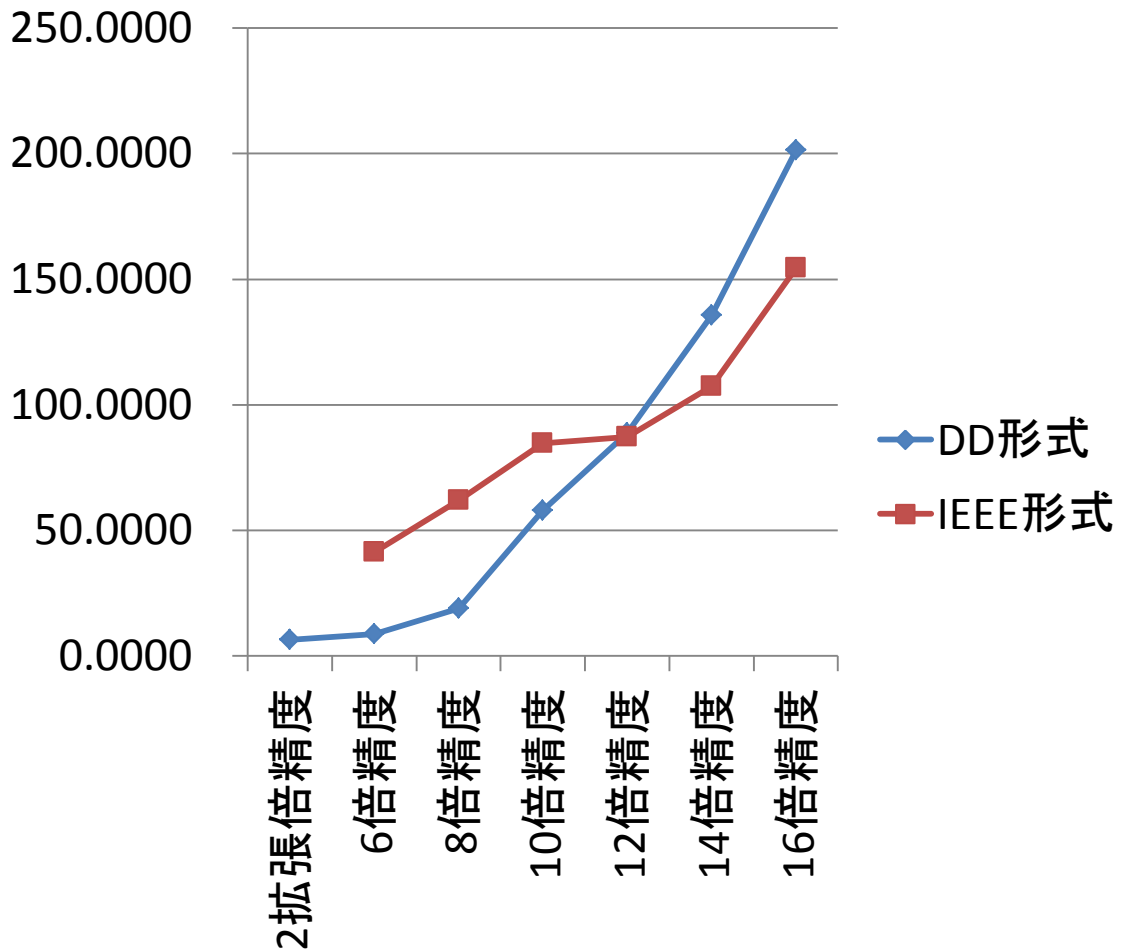
になる。特にオプション`-fp-model extended`は

性能に効果的な場合が多い。

Rump's 例題 N=500000000 E5-2687W v3 3.10GHz 40smp

拡張倍精度+拡張倍精度 有効ビット数 130>121
10倍精度から12倍精度で実行時間が逆転

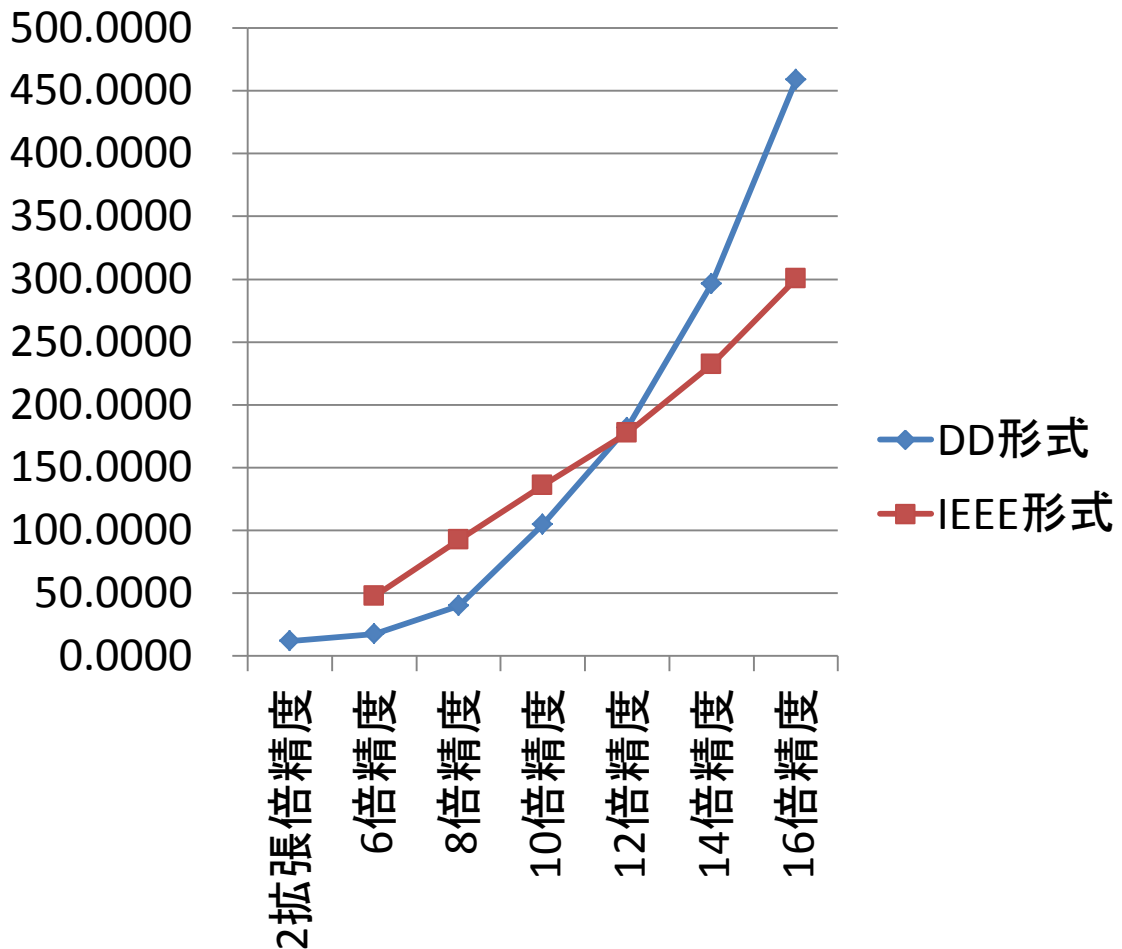
実行時間 (秒)



Rump's 例題 N=500000000 E5-2687W v2 3.40GHz 16smp

拡張倍精度+拡張倍精度 有効ビット数 130>121
10倍精度から12倍精度で実行時間が逆転

実行時間 (秒)



5. 3次元ループ積分でのサーバーでのDD形式とIEEE形式の性能比較

使用した3次元積分は以下のinfra boxと言われるものでこの問題では10進6桁正しい結果を得るには

$x = 1 - \varepsilon$ で $\varepsilon \leq 10^{-32.8} = 2^{-108}$ の x が取れる必要がある。

$$I(s) = \int_0^1 \int_0^{1-x} \int_0^{1-x-y} \frac{1}{D^2} dz dy dx$$

$$(D = -xys - tz(1-x-y-z) + (x+y)\lambda^2 \\ + (1-x-y-z)(1-x-y)m_e^2 \\ + z(1-x-y)m_f^2)$$

$$s = -500^2, t = -150^2, m_f = 150, m_e = 0.0005, \lambda = 10^{-30}$$

$$\text{解析近似解} = \frac{1}{-s(-t+m_f^2)} \ln\left(\frac{-s}{\lambda^2}\right) \ln\left(\frac{(-t+m_f^2)^2}{m_f^2 m_e^2}\right)$$

$$\text{相対誤差} = \frac{\lambda}{\ln\left(\frac{-s}{\lambda^2}\right) m_e} \frac{\pi(-t+m_f^2)}{\ln\left(\frac{(-t+m_f^2)^2}{m_e^2 m_f^2}\right)} = 7 \times 10^{-26} \text{以下}$$

Infra box

E5-2690 (SB) 2.90GHz 16smp

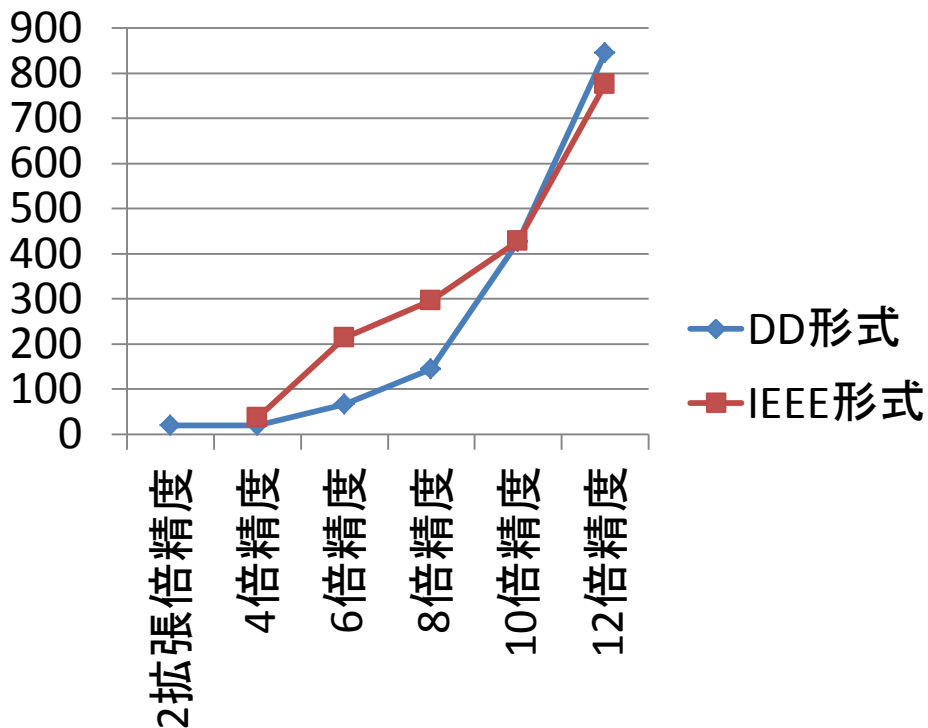
N=1024

DD形式4倍精度のみa,b,c

$X=a+b$ を $x=1-c$ ($a,b,c>0$) と表す
コーディング。

10倍精度で実行時間がほぼ同じ

実行時間 (秒)



Infra box

E5-2687W v2 3.40GHz 16smp

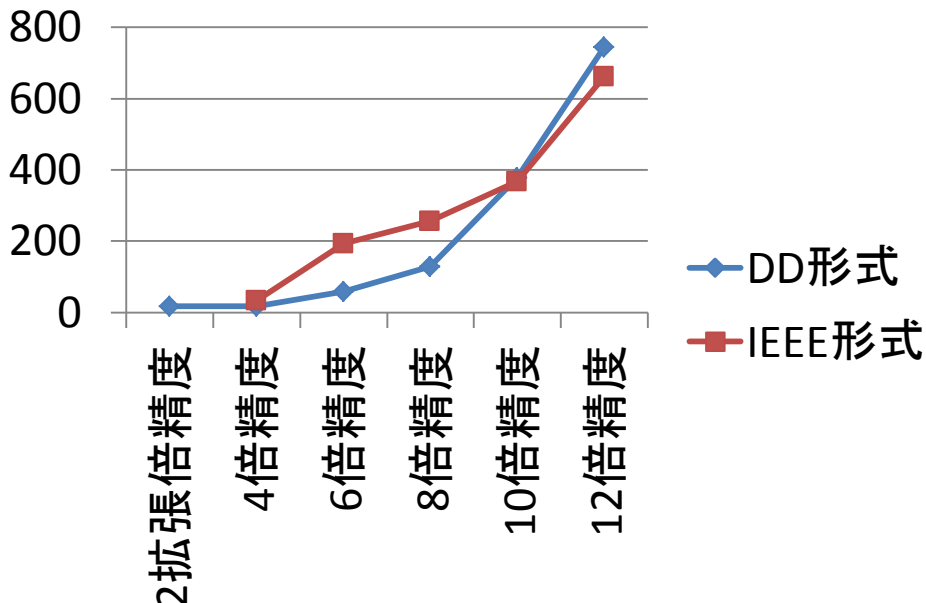
N=1024

DD形式4倍精度のみa,b,c

$X=a+b$ を $x=1-c$ ($a,b,c>0$) と表す
コーディング。

8倍精度から10倍精度で実行時間が逆転

実行時間 (秒)



DD形式4倍精度 (a,b,c>0)

X=a+b

```
do i=1,n
x=-1024+i
t=x*h
y=pi*0.5q0*sinh (t)
x30 (i) =exp (y) / (exp (y) +exp (-y) )
gw30 (i) =cosh (t) *pi/ (exp (y) +exp (-y) ) **2
end do
```

コーディングでは赤字の1行変更するだけで良い。

X=1-c

```
do i=1,n
x=-1024+i
t=x*h
y=pi*0.5q0*sinh (t)
x30 (i) =1.0q0/ (1.0q0+exp (-2.0q0*y) )
gw30 (i) =cosh (t) *pi/ (exp (y) +exp (-y) ) **2
end do
```